

استفاده از تئوری موجک در تحلیل دینامیکی توامان دیوارهای حائل بتنی و محیط خاک

احمدرضا سیف الدین^۱، هیثم حیدر زاده^{۲*} و حامد رضا ظرفی صنایعی^۳

۱ دانشجوی کارشناسی ارشد، گروه مهندسی عمران، دانشگاه فنی و مهندسی، دانشگاه شهرکرد

۲* دانشیار، گروه مهندسی عمران، دانشکده فنی و مهندسی، دانشگاه شهرکرد

۳ دانشیار، گروه مهندسی عمران، دانشکده فنی و مهندسی، دانشگاه شهرکرد

Email: heidarzadeh@sku.ac.ir

تاریخ پذیرش: [۱۴۰۲/۱۲/۰۹]

تاریخ دریافت: [۱۴۰۲/۰۲/۰۹]

چکیده

استفاده از تئوری موجک در تحلیل مسائل دینامیکی مرتبط با مهندسی عمران روند رو به رشد دارد. تحقیق پیش رو تلاش دارد تا به بررسی تاثیر استفاده از تئوری موجک در تحلیل دینامیکی دیوار حائل بتنی، پردازد. برای این منظور یک محیط خاکی به همراه دیوارهای حائل بتنی با ابعاد (ارتفاع) مختلف در نظر گرفته می شوند. تحلیل های عددی، بر اساس روش عددی المان محدود انجام می پذیرد. رکورد زلزله سریل ذهاب به همراه رکوردهای حاصل از چهار مرحله (کام) فیلتر کردن آن رکورد توسط تئوری موجک، برای تحلیل دینامیکی مورد استفاده قرار می گیرند. بنابراین، در اولین مرحله مدلسازی، رکورد زلزله سریل ذهاب در چهار مرحله با استفاده از تئوری موجک گسته فیلتر می شود. در واقع با هر بار استفاده از تئوری موجک تعداد داده های زلزله تقریباً نصف می شود. در مرحله بعد، مدل های عددی آماده شده و تحت اثر بارگذاری دینامیکی رکوردهای موجود قرار می گیرند. درصد تفاوت در نتایج تحلیل با رکوردهای حاصل از مراحل مختلف فیلتر کردن رکورد زلزله با موجک نسبت به تحلیل با رکورد اصلی، به همراه کاهش زمان محاسبات به طور ویژه مورد ارزیابی قرار می گیرد. همان گونه که انتظار می رفت، بهترین هماهنگی نتایج بعد از فیلتر کردن نسبت به نتایج رکورد اصلی، مربوط به فیلتر مرحله اول است. ملاحظه می شود که حتی فیلتر مرحله اول باعث می شود که زمان تحلیل حدود ۶۰ درصد کاهش یابد. بر اساس نتایج حاصل شده ملاحظه می شود که با افزایش ارتفاع دیوار، اختلاف نتایج بدست آمده از رکوردهای فیلتر شده نسبت به رکورد اصلی، کمتر می شود. همچنین ملاحظه شده است که تا فیلتر مرحله سه، کماکان نتایج قبل قبولی حاصل می شود؛ ضمن اینکه زمان تحلیل تقریباً ۸۰ درصد کاهش می یابد.

کلیدواژه ها: تحلیل دینامیکی، تحلیل توامان خاک و دیوار، دیوار حائل، المان محدود، تئوری موجک.

۱- مقدمه

که احتیاج به تکیه گاه جانبی باشد استفاده شود. دیوار حائل می تواند به صورت های وزنی، طرهای، پشت بندار طراحی شود. سازه نگهبان یا دیوار حائل، دیواری است که بتواند به صورت یک سازه نگهدارنده و تکیه گاهی برای پایداری سازه دیگر یا جلوگیری از ریزش و مهار خاک و به طور کلی هر جا

راستای انجام شبیه‌سازی‌های عددی (مطالعات عددی) از روش المان محدود و با استفاده از نرم‌افزار ABAQUS بهره برده شده است.

۲- استفاده از تئوری موجک

واژه موجک نخستین بار توسط آفرید هار در سال ۱۹۰۹ استفاده شد. امروزه هم این موجک‌ها به همان نام یعنی موجک‌های هار معروف شده‌اند. موجک هار اولین و ساده‌ترین نوع موجک گستته است. در آنالیز تابعی، تبدیل موجک گستته تبدیل موجکی است که توابع موجک آن نمونه‌برداری شده‌اند. در مقایسه با تبدیل فوریه می‌توان گفت که تبدیل موجک دارای ویژگی محلی سازی بسیار خوبی است. برای نمونه تبدیل فوریه یک پیک تیز دارای تعداد زیادی ضرب است، چراکه توابع پایه تبدیل فوریه توابع سینوسی و کسینوسی هستند که دامنه آن‌ها در کل بازه ثابت است. درحالی که توابع موجک توابعی هستند که بیشتر انرژی آن‌ها در بازه کوچکی متمرکز شده است و به سرعت میرا می‌شوند. بنابراین با انتخاب مناسب موجک مادر می‌توان فشرده‌سازی بهتری در مقایسه با تبدیل فوریه انجام داد. در تبدیل موجک، توابع مادر و مقیاس متفاوتی وجود دارند [7].

سلامجه و حیدری در سال ۲۰۰۵ میلادی تلاش کرده اند تا به کمک تئوری موجک، طراحی بهینه ساختمان‌ها در مقابل زلزله را ارائه دهند [8]. در تحقیق آنها ملاحظه شد که زمان تحلیل تا ۱۰ درصد روش‌های متداول کاهش یافت و خطای آن (تفاوت نسبت به زلزله اصلی) حدود ۷ درصد ارزیابی شد [8]. همچنین این مؤلفین در جای دیگر [9] با استفاده از روش ترکیبی ژنتیک و تبدیل گستته موجکی اقدام به طراحی بهینه ساختمان در مقابل زلزله نمودند. زمان موردنیاز در این حالت ۳۵ درصد زمانی بود که از تبدیل موجکی استفاده نشده بود و خطای حاصل حدود ۱۵ درصد بود.

کامگار و همکاران [10] از تبدیل موجک گستته در تحلیل غیرخطی لرزه‌ای مسائل اندرکنش خاک و سازه استفاده کردند. شبیه‌سازی آثار اندرکنش خاک-سازه (SSI) فرآیندی زمان‌بر و پرهزینه است و نادیده گرفتن تأثیر SSI بر پاسخ سازه ممکن است منجر به نتایج نادرست، به ویژه در مورد

با توجه به اینکه کار دیوارهای حائل در حفاظت سازه‌های مرتبط با آن‌ها بسیار پراهمیت است، لزوم مطالعه رفتار دینامیکی این نوع سازه‌ها را به دلیل وارد آمدن خسارت مالی و جانی، دوچندان می‌نماید [1]. این‌گونه سازه‌ها باید در برابر نیروهای وارد بر دیوار پایداری داشته باشند. علاوه بر بارهای استاتیکی که همواره جزء جدانشدنی محاسبات این‌گونه دیوارها هستند، نیروهای از قبیل نیروهای سیکلیک ناشی از حرکت ماشین‌آلات و همچنین نیروی دینامیکی ناشی از زمین‌لرزه که در طول دوران بهره‌برداری امکان وارد آمدن بر دیوار وجود دارد، نیز می‌تواند بر این سازه‌ها وارد آیند که باید مورد بررسی و ارزیابی قرار گیرد.

تلاش برای بررسی و تحلیل رفتار دینامیکی دیوارهای حائل مختلف یکی از موضوعات چالشی، بسیار پرکاربرد و جذاب بین پژوهشگران مختلف است که از گذشته تا حال بسیاری را به خود مشغول کرده است [2-6]. مطالعه روی رفتار دیوارهای حائل را می‌توان در حالت کلی به سه بخش تفکیک کرد: مطالعات آزمایشگاهی، مطالعات تحلیلی و مطالعات عددی (شبیه‌سازی‌های عددی). در اینجا، تاکید روی مطالعه رفتار دینامیکی این سازه‌ها در مطالعات (شبیه‌سازی‌های) عددی است.

تحلیل دینامیکی سازه‌ها با استفاده از رکوردهای ثبت شده زلزله‌ها می‌تواند بسیار زمان‌بر باشد. بنابراین در اینجا تلاش می‌شود تا با استفاده از تئوری موجک تعداد داده‌های مربوط به هر زلزله کاهش داده شود و اثر این کاهش بر تحلیل دینامیکی دیوارهای حائل مورد ارزیابی قرار گیرد. با هر بار استفاده از تئوری موجک می‌توان تعداد داده‌های زلزله را تقریباً نصف و در نتیجه زمان اجرای محاسبات را کوتاه‌تر کرد (سرعت محاسبات را افزایش داد). از این‌رو، تعداد مراحل استفاده از تئوری موجک در یک زلزله و خطای حاصل از این مراحل باید مورد ارزیابی قرار گیرد تا مشخص شود که برای تحلیل دینامیکی دیوار حائل تا چند مرحله می‌توان از تئوری موجک استفاده نمود. همچنین بررسی می‌شود که با هر مرحله اعمال تئوری موجک بر زلزله، با دینامیکی خروجی، چقدر از زلزله اصلی فاصله می‌گیرد. برای این منظور، در این پژوهش در

ویژگی‌های مودال و تشخیص آسیب در سازه‌ها محبوبیت پیدا کرد.

خان‌احمدی و همکاران [13] از تبدیل موجک دویعده گستته در تشخیص آسیب در صفحات فولادی استفاده کردند. در ابتدا صفحه فولادی در نرم‌افزار المان محدود ABAQUS با شرایط تکیه‌گاهی آزاد مدل‌سازی شد و سپس شکل هشت مود اول سالم و آسیب‌دیده استخراج شد.

ریئو چوین و همکاران [14] به منظور هشدار پایداری در دیوار حائل شمعی آسیب‌دیده از موجک بهره برده‌اند. ایشان یک شاخص هشداردهنده آسیب، ERVC، بر اساس تجزیه و تحلیل طیف انرژی باند فرکانس حاصل از موجک، پیشنهاد دادند. سپس، ارتباط ذاتی بین ERVC، فشار زمین و پایداری دیوارهای حائل مورد تجزیه و تحلیل قرار گرفت. نتایج نشان می‌دهد که با افزایش مقدار ERVC، پایداری دیوار کاهش می‌یابد و زمانی که ERVC به مقدار آستانه برسد، وارد حالت پایدار بحرانی می‌شود.

همچنین، آقامولایی و همکاران [15] برای ارزیابی عملکرد لرزه‌ای دیوارهای حائل طرهای تحت اثر زلزله‌های نزدیک به گسل، از مفهوم تئوری موجک کمک گرفتند. آنها در تحقیق خود از موجک برای استخراج پالس سرعت حرکات استفاده کردند. معماریان سرخابی و همکاران [16] از تجزیه موجک سه بعدی (3WD) برای کاهش نویز، بازسازی و اصلاح فاز در تحلیل شیروانی‌ها و زمین لغزش‌ها استفاده کردند. از موارد دیگری که از تئوری موجک در تحلیل‌های خود استفاده کردند می‌توان به مقاله‌ها و همکاران [17] اشاره نمود. پاسخ دینامیکی دیوارهای حائل طرهای به همراه تئوری موجک مورد ارزیابی قرار گرفت. آنها تمرکزشان بر جابه‌جایی‌های دیوار و خاک اطراف قرار داشت. بر این اساس، آنها نتیجه گرفتند که جابه‌جایی‌های نسبی دیوار، بسته به جهت حرکت زمین در برابر حرکت دیوار می‌تواند بسیار موثر و تا حدود ۴۶٪ اثرگذار بودند. همچنین، جاودانیان و گودرزی [18] رفتار دینامیکی خاک مسلح شده با ژئوگرید را با کمک تئوری موجک مورد ارزیابی قرار دادند. آنها نتیجه گرفتند که جابه‌جایی جانبی و بیشترین نیروی کششی ایجاد شده در ژئوگریدها در تحلیل‌های

تحلیل غیرخطی لرزه‌ای، شود. با این توصیف ایشان در پژوهش خود از روش تبدیل موجک برای بررسی پاسخ لرزه‌ای سیستم‌های خاک - سازه استفاده کردند. برای این منظور، ساختمانهای طبقه‌بندی متفاوتی که روی دو نوع خاک متفاوت قرار دارند، برای تحلیل SSI در نظر گرفته شدند. برای هر سیستم SSI، چندین رکورد لرزه‌ای، با مقادیر مختلف پیک شتاب زمین (PGA) و بیشترین سرعت زمین (PGV)، ابتدا با استفاده از تبدیل موجک گستته به سیگنال‌های تقریبی و دقیق تجزیه شده‌اند. سپس پاسخ‌های لرزه‌ای سیستم‌های SSI در معرض سیگنال تقریبی ارزیابی شده‌اند. نتایج مطالعه نشان می‌دهد که برای زلزله‌های با نسبت PGA/PGV پایین، درصد خطای تمامی پارامترها برای سطح اول کمتر از ۵ درصد و برای سطح سوم کمتر از ۱۰ درصد است. با افزایش نسبت PGA/PGV یک زلزله، تطابق نتایج تقریبی با نتایج اصلی کاهش می‌یابد. با این حال، حتی برای زمین‌لرزه‌هایی با نسبت PGA/PGV بالاتر از ۱.۲ g s/m، می‌توان از تقریب سطح اول برای پیش‌بینی پاسخ‌های لرزه‌ای با دقت حداقل ۹۰ درصد و

در عین حال کاهش قابل توجه زمان محاسباتی استفاده کرد.

دادخواه و همکاران [11] از تبدیل موجک گستته برای کاهش هزینه محاسبات برای تحلیل دینامیکی افزایشی سازه‌های ساختمانی استفاده کردند. در این روش با توجه به اینکه تحلیل دینامیکی افزایشی (IDA) یکی از دقیق‌ترین تحلیل‌های غیرخطی لرزه‌ای است اما روشی زمان‌بر است و هزینه محاسباتی بالایی دارد. همچنین، منحنی IDA باید از تجزیه و تحلیل ساختمان در معرض یک سری زمین‌لرزه به دست آید که باید تمام مناطق پاسخ‌های سازه را پوشش دهد. استفاده از تبدیل موجک گستته برای حل این مسائل نشان داد که استفاده از رکوردهای فیلتر شده هزینه و زمان محاسباتی را به ترتیب حدود ۸۷.۴٪ و ۷۳٪ کاهش می‌دهد، در حالی که بیشترین خطای آن فقط حدود ۷.۶٪ است.

کانکانامگ و همکاران [12] برای پایش سازه از تبدیل موجک استفاده کردند. الگوریتم‌های مختلف تشخیص آسیب مبتنی بر ارتعاش در چند دهه گذشته توسعه یافته‌اند. در میان آن‌ها، تبدیل موجک (WT) به عنوان یک روش کارآمد برای پردازش سیگنال برای ساخت چارچوبی برای شناسایی

انجام شده با سطوح ۱ و ۲ فیلتر شده با موجک، انطباق مناسبی را با نتایج حاصل از تحلیل دینامیکی با زلزله اصلی دارد.

۳- خلاصه‌ای از تئوری موجک

تبديل فوريه پاسخگوي تمام نيازها در زمينه پردازش فركانسي نبود؛ و به همين دليل، تبدل موجک به وجود آمد. تبدل موجک توانمندي خود را در بهينه‌سازی ديناميكي و تحليل‌های ديناميكي بهخوبی نشان داده است [22-23]. در تبدل فوريه برای پيدا کردن فركانس‌های موجود، سيگنال موردنظر روی توابع سينوس-کسينوسی و هارمونيك‌های آن‌ها تصویر می‌شود. در تبدل موجک، سيگنال روی دسته‌ای از توابع که موجک نامیده شده و با $(t) g_{b,\tau}$ نشان داده می‌شوند تصویر می‌شود.

تابع مادر و پارامترهای b و τ مقیاس و انتقال نامیده می‌شوند. رابطه بین موجک مادر و پارامترهای مقیاس و انتقال به صورت زیر است:

$$g_{b,\tau}(t) = \frac{g\left(\frac{t-\tau}{b}\right)}{\sqrt{b}} \quad (1)$$

اگر پارامتر b افزایش يابد، موجک مادر کشیده شده و بخش بزرگی از سيگنال را پوشش می‌دهد. بنابراین با افزایش پارامتر b محتواي فركانسي پاييترا آشكار می‌شود. با کاهش پارامتر b ، موجک منقبض شده و بخش کوچکی از سيگنال را پوشش می‌دهد. در اين حالت نيز مقیاس کوچک متناظر با محتواي فركانسي بالاي سيگنال است. پارامتر τ موجک روی سيگنال اصلی انتقال داده و متناظر با انتقال در حوزه زمان است.

برای محاسبه تبدل پيوسته سيگنال، ابتدا موجک مادر انتخاب می‌شود. موجک مادر با عامل b منبسط یا منقبض شده و با عامل τ انتقال می‌آيد. سپس سيگنال موردنظر روی $(t) g_{b,\tau}$ تصویر شده و تبدل موجک سيگنال محاسبه می‌شود. اين عمل به ازاي تمامی مقادير τ (انتقال موجک روی كل سيگنال) و تمامی مقادير b (جستجو به ازاي تمامی فركانس‌ها) برای به دست آوردن تبدل موجک انجام می‌شود. با استفاده از تبدل فوريه، ساختار فركانسي موجود در سيگنال با اين فرض که

تمام مؤلفه‌های فركانسي آن از ابتدا تا انتهای سيگنال حضور دارند، تعیین می‌شود. در مقابل در تبدل موجک، موقعیت زمانی هر فركانس مشخص شده و امكان تحلیل فركانس‌های غير پایدار و محل ناپیوستگی در سيگنال فراهم می‌آید [23]. در حالت کلی موجک‌ها به دو دسته، موجک گستته (DWT) و موجک پيوسته (CWT) تقسیم می‌شوند.

در تبدل موجک گستته (DWT) پیاده‌سازی تبدل موجک با استفاده از مجموعه‌ای گستته از مقیاس‌های موجک و تبدل‌هایی است که از برخی قوانین تعریف شده پیروی می‌کند. به عبارت دیگر، این تبدل، سيگنال را به مجموعه‌ای متعامد از موجک‌ها تجزیه می‌کند. در مقابل، تبدل موجک پيوسته (CWT)، پیاده‌سازی تبدل موجک با استفاده از مقیاس‌های دلخواه و موجک‌های تقریباً دلخواه است. موجک‌های مورد استفاده متعامد نیستند و داده‌های به دست آمده از این تبدل، همبستگی بالایی دارند. برای سری‌های زمانی گستته می‌توان از این تبدل نيز استفاده کرد، با این محدودیت که کوچکترین تبدل موجک باید برابر با نمونه‌گیری داده باشد. گاهی اوقات به آن تبدل موجک پيوسته زمان گستته (DT-CWT) می‌گویند و اين پرکاربردترین روش برای محاسبه CWT در کاربردهای واقعی است. در عمل، می‌توان تبدل‌های موجک پيوسته و گستته را به کمک ابزارها و توابع موجود در نرم افزار متلب (MATLAB) استخراج نمود. بر اين اساس، رکوردهای زلزله را می‌توان وارد نرم افزار متلب کرد و با کدنويسی مناسب، رکوردهای خروجی فیلتر شده (با مراحل مختلف فیلتراسیون) بدست آورد. سپس از رکوردهای بدست آمده (فیلتر شده توسط تبدل موجک) در تحلیل‌های دینامیکی استفاده نمود.

۴- روند مدل‌سازی

هدف اين تحقیق مقایسه و ارزیابی رفتار لرزه‌ای دیوار حائل بتني وزنی با استفاده از تئوری موجک در تحلیل دینامیکی است. دیوارهای حائل مورداستفاده در این پژوهش شامل دیوار حائل به ارتفاع ۵، ۷ و ۹ متر است. عرض دیوار حائل در تاج ۲ متر و در پاشنه دیوار ۵ متر است. هندسه

۱-۴- ویژگی‌های میرایی

بهمنظور تحلیل دینامیکی خاک - سازه نیاز به ماتریس میرایی است. میرایی در نظر گرفته شده در این روش متناسب با جرم و سختی سیستم بوده و از میرایی رایلی استفاده می‌شود. ماتریس میرایی در حالت کلی به صورت ذیل تعریف می‌شود:

$$C = \alpha M + \beta K \quad (4)$$

که در رابطه فوق، M و K به ترتیب ماتریس‌های جرم و سختی هستند. ضرایب β و α در ماتریس میرایی بر اساس روش رایلی محاسبه می‌شوند. برای استخراج ضرایب میرایی ابتدا توده خاک مورد نظر مورد تحلیل فرکانسی قرار داده شد و بر اساس زمان تناوب استخراجی مقادیر ضرایب میرایی خاک محاسبه شد. در جدول (۳) مقادیر ضرایب β و α برای مسئله مورد مطالعه ارائه شده است.

جدول ۳. مقادیر ضرایب میرایی α و β برای محیط مورد مطالعه

| β | α |
|----------|----------|
| 0.000443 | 0.0571 |

Table 3. Values of damping coefficients α and β for the studied environment

۲- مشخصات مشبندي

ابعاد مش در توده خاکی به طور متوسط ۱ متر و برای دیوار حائل وزنی به طور متوسط ۵/۰ متر در نظر گرفته شده است (شکل ۲). در تحلیل‌های دینامیکی، برای جلوگیری از بازتاب‌های کاذب امواج به داخل محدوده مدل‌سازی، لازم است از مرزهای جاذب (مرزهای ویژه) استفاده شود. روش‌های مختلفی برای اعمال مرز جاذب انرژی وجود دارد که یکی از آن‌ها استفاده از المان‌های نیمه بینهایت است که در این پژوهش نیز از آن بهره برده شده است. بر این اساس، فرض می‌شود که مصالح خاک در جهت موردنظر تا بینهایت ادامه دارند و امواج حاصل از زلزله بدون انعکاس وقتی به مرزهای اصلی مدل‌سازی عددی می‌رسند از آنها رد می‌شوند (و بجهت، به محیط مدل‌سازی بازتاب نمی‌یابند). بنابراین، برای مشبندي خاک اطراف مدل که دارای المان‌های نیمه بینهایت می‌باشند از المان‌های CPS4R و برای خاک درون مدل و

عمومی مدل‌های ایجاد در شکل (۱) به تصویر کشیده شده است. در این شکل، بخش ذوزنقه‌ای سبز رنگ، نشان دهنده موقعیت دیوار حائل و بخش خاکستری رنگ، محیط اصلی خاک زیر و اطراف دیوار حائل را نشان می‌دهند. دو بخش کناری که به رنگ قرمز تیره نشان داده شده‌اند، معرف بخشی از مشبندي خاک اطراف مدل است که دارای المان‌های نیمه بینهایت از نوع المان‌های CPS4R می‌باشند که برای مدل‌سازی دینامیکی خاک ضروری است. گسترش جانبی محیط مدل‌سازی، شامل ۱۰۰ متر می‌باشد که از هر طرف ۲۵ متر به عنوان مرز بینهایت در نظر گرفته شده است. در این تحقیق، سازه دیوار حائل مستقیماً روی خاک قرار داده شده است و تحلیل همزمان خاک و سازه دیوار حائل با روش عددی المان محدود انجام می‌گیرد. بنابراین، اثر توامانی که خاک و سازه به هم اعمال می‌کنند نیز در نتایج تحلیل در نظر گرفته می‌شود.

شکل ۱. تصویر کلی از دیوار حائل و خاک در مدل سازی‌های عددی

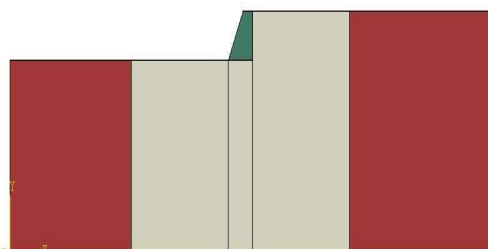


Fig. 1. Schematic view of retaining wall and soil in numerical modeling

مشخصات مصالح مربوط به دیوار حائل وزنی مورد استفاده در جدول (۱) و مشخصات خاک محیط در جدول (۲) ارائه شده است.

جدول ۱. مشخصات مصالح دیوار حائل وزنی

| Poisson's ratio | Elastic modulus (Kg/m³) | Constitutive model | Material |
|-----------------|-------------------------|--------------------|------------------|
| 0.2 | 2.35e10 | 2500 | Elastic Concrete |

Table 1. Properties of retaining wall materials

جدول ۲. مشخصات خاک ماسه‌ای

| C (Pa) | Poisson's ratio | Elastic modulus (Pa) | φ (deg) | γ (kg/m^3) | Constitutive model | Soil |
|--------|-----------------|----------------------|-----------------|-----------------------|--------------------|------|
| 1000 | 0.3 | 40e6 | 32 | 2000 | Mohr-columb | sand |

Table 2. Sandy soil parameters

موردنظر انجام شده و ارزیابی‌های مربوط به آن انجام می‌پذیرد. در شکل‌های (۳) تا (۷) شتاب زلزله در ۴ مرحله (گام) فیلتر شده و رکوردهای حاصل از فیلتر تئوری موجک، نشان داده شده است. تعداد نقاط زلزله اصلی ۱۹۸۹۰ نقطه است که در گام اول ۹۹۴۵، گام دوم ۴۹۷۳، گام سوم ۲۶۸۷ و در گام چهارم ۱۲۴۴ نقطه شده است. در هر مرحله تعداد نقاط شتاب‌نگاشت زلزله نصف شده است. تمامی رکوردهای موجود (رکورد اصلی زلزله و رکوردهای حاصل از فیلتر موجک) در شتاب بیشتر به شتاب جاذبه g مقیاس شده‌اند.

شکل ۳. رکورد اصلی زلزله سرپل ذهاب اسکیل شده به شتاب g

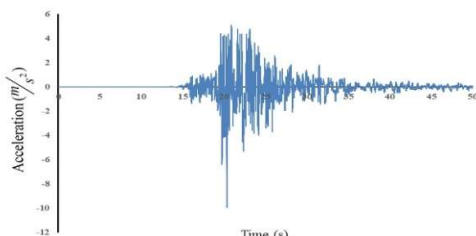


Fig. 3. The main record of the Sarpol Zahab earthquake scaled to the acceleration g

شکل ۴. رکورد حاصل از فیلتر موجک در گام اول از زلزله سرپل ذهاب

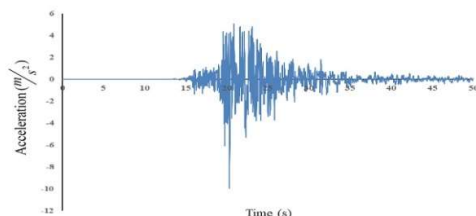


Fig. 4. The record obtained by the first step of the wavelet filter on the Sarpol Zahab earthquake

شکل ۵. رکورد حاصل از فیلتر موجک در گام دوم از زلزله سرپل ذهاب

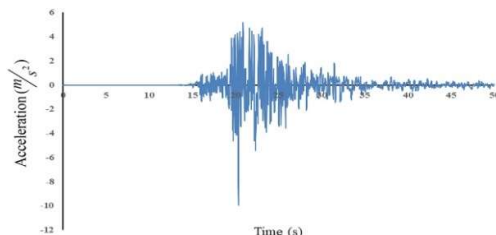


Fig. 5. The record obtained by the second step of the wavelet filter on the Sarpol Zahab earthquake

برای مقایسه رکوردهای موجک و رکورد اصلی زلزله در حوزه فرکانس شکل (۸) ارائه شده است. از آنجا که در هر

دیوار حائل از المان‌های CPE4R در نرم‌افزار آباکوس استفاده شده است. همچنین، در محل اتصال سازه به خاک (برای اعمال اندرکنش خاک – سازه) از المان tie استفاده شده است.

شکل ۲. مش بندی و اعمال شرایط مرزی جاذب برای تحلیل دینامیکی
تاریخچه زمانی

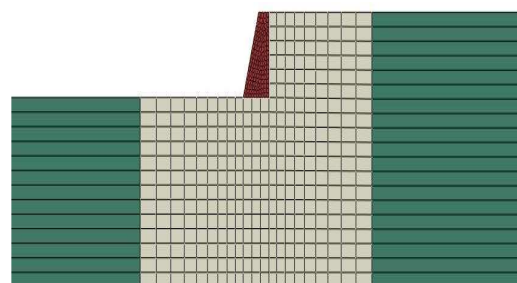


Fig. 2. Mesh and absorbent boundary conditions for dynamic time history analysis

۳-۴- رکوردهای زلزله اصلی و فیلتر شده توسط تئوری موجک در این پژوهش از رکورد زلزله سرپل ذهاب استفاده شده است. به دلیل آنکه در ثبت رکوردهای زلزله ممکن است خطاهایی به وجود آید، معمولاً باید شتاب‌نگاشت زلزله‌ها اصلاح شوند. برای اصلاح شتاب‌نگاشت زلزله از شیوه‌های گوناگونی استفاده می‌شود. در این پژوهش از روش باند گذر و با استفاده از نرم‌افزار Seismosignal با محدوده فرکانسی صفر تا ۳۰ هرتز اصلاح رکورد گرفته است. بیشینه شتاب در رکورد اصلاح نشده ۶۸۴/۴۲ و رکورد اصلاح شده ۶۸۱/۴۵ سانتی‌متر بر مجدور ثانیه است که به اندازه ۰/۴۳ درصد اصلاح شده است.

جدول ۴. مشخصات زلزله سرپل ذهاب

| Max. Dis. | Max. Vel. | Max. Acc. (adjusted) | Max. Acc. (unadjusted) | Value |
|-----------|------------|-------------------------------|-------------------------------|----------|
| 31.04 cm | 45.50 cm/s | 681.45 cm/s^2 | 684.42 cm/s^2 | |
| 25.81 | 20.34 | 20.34 | 20.34 | Time (s) |

Table 4. Characteristics of Sarpol Zahab earthquake

در ادامه با استفاده از فیلتر موجک گستته هار زلزله سرپل ذهاب در مراحل مختلف فیلتر شد. با استفاده از رکوردهای بدست آمده از هر مرحله از فیلتر تحلیل‌های دینامیکی مسئله

مشخصات رکوردهای مورد استفاده از نظر پریود غالب، مدت زمان حرکت قوی و شدت اریاس در جدول (۵) ارائه شده است. با توجه به این جدول، از نظر مدت زمان حرکت قوی زلزله و شدت اریاس زلزله اصلی و رکورد تجزیه سطح اول تطابق بسیار زیادی با هم دارند. اما با افزایش سطح تجزیه تفاوت قابل توجهی در شدت اریاس و مدت زمان حرکت قوی زلزله نسبت به زلزله اصلی به وجود می آید. همچنین با مقایسه طیف شتاب رکوردها (شکل ۹) مشخص است که بیشترین تطابق در سطوح تجزیه اول و دوم با زلزله اصلی در تمامی زمان تناوب‌ها وجود دارد. در صورتیکه، با افزایش سطح تجزیه، اختلاف قابل توجهی بین طیف پاسخ شتاب زلزله‌های با سطح تجزیه ۳ و ۴ و زلزله اصلی به وجود می‌آید. بر این اساس، زلزله سطح ۲ را شاید بتوان بهترین یا بهینه‌ترین سطح تجزیه دانست.

جدول ۵. مشخصات مختلف رکوردهای مختلف در مقایسه با زلزله اصلی

| Records | Arias intensity (m/sec) | Duration of strong movement (sec) | Dominant period (sec) |
|---------|-------------------------|-----------------------------------|-----------------------|
| Main | 6.91 | 10.36 | 0.22 |
| Level 1 | 6.95 | 10.36 | 0.22 |
| Level 2 | 7.17 | 10.36 | 0.22 |
| Level 3 | 7.72 | 10.96 | 0.22 |
| Level 4 | 8.60 | 11.12 | 0.22 |

Table 5. Different features of records compared to the main earthquake

شکل ۹. مقایسه طیف شتاب رکوردها

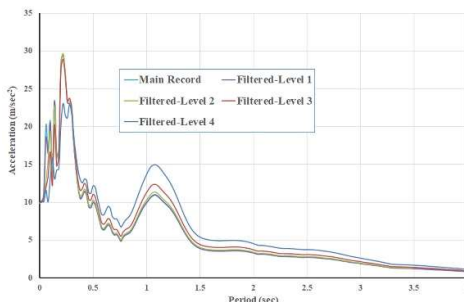


Fig. 9. Comparison between acceleration spectrums

۴-۴- تعداد و مشخصات کلی مدل‌های عددی مورد مطالعه برای رسیدن به اهداف این پژوهش، ۱۵ عدد دیوار حائل بتنی وزنی بررسی شده است. با توجه به تعداد رکوردهای

مرحله از اعمال ثوری موجک با توجه به اینکه مدت زمان زلزله ثابت می‌ماند و مقدار گام زمانی دو برابر می‌شود، بنابراین، فرکانس نایکوئیست در هر سطح تجزیه موجک به نصف مقدار سطح قبلی تقلیل پیدا می‌کند. برای نمونه زلزله اصلی فرکانس نایکوئیست ۱۰۰ هرتز می‌باشد که در سطح تجزیه اول به ۵۰ هرتز و به ترتیب در سطوح‌های بعدی ۲۵ هرتز، ۱۲.۵ هرتز و ۶.۲۵ هرتز کاهش پیدا می‌کند. بنابراین با توجه به شکل (۸) تمامی دامنه فوریه برای زلزله اصلی و زلزله‌های تجزیه شده در سطوح مختلف در بازه زمانی ۶/۲۵ ترسیم می‌شود. همان‌گونه که از این شکل مشخص است، تا سطح A3 (مرحله فیلتر سوم) مایبن زلزله اصلی و زلزله‌های فیلتر شده، تطابق بسیار مناسبی برقرار است؛ در صورتی که در سطح ۴ میزان اختلاف با زلزله اصلی قابل توجه می‌شود.

شکل ۶. رکورد حاصل از فیلتر موجک در گام سوم از زلزله سریل ذهب

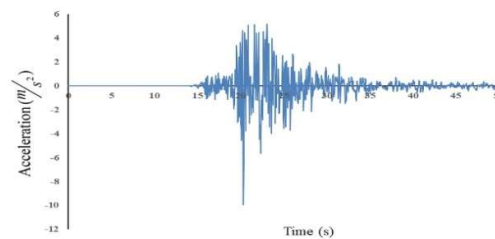


Fig. 6. The record obtained by the third step of the wavelet filter on the Sarpol Zahab earthquake

شکل ۷. رکورد حاصل از فیلتر موجک در گام چهارم از زلزله سریل ذهب

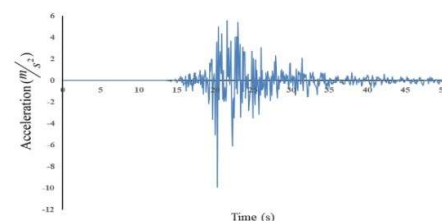


Fig. 7. The record obtained by the fourth step of the wavelet filter on the Sarpol Zahab earthquake

شکل ۸ مقایسه رکوردهای موجک و رکورد اصلی زلزله در حوزه فرکانس

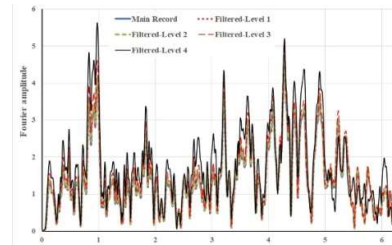


Fig. 8. Comparison between different records in frequency dominance

در این بخش، جابه‌جایی ماندگار افقی در دیوار حائل به همراه شتاب افقی ماکریم و تنش‌های انحرافی ایجاد شده در دیوار تحت رکوردهای مختلف (رکورد زلزله اصلی و رکوردهای فیلترشده آن به کمک تئوری موجک) مورد مقایسه قرار می‌گیرد. در شکل (۱۰) کنتورهای جابه‌جایی ماندگار (نهایی) افقی در دیوار حائل ۵ متری و محیط خاک اطراف به تصویر کشیده شده است. این تحلیل‌ها روی دیوار حائل پنج متری توسط رکوردهای مختلف مورد تکرار شد و تعییر مکان افقی ماکریم ماندگار (نهایی) حاصل، برای مقایسه در شکل (۱۱) ارائه شد. همین طور شتاب‌های ماکریم حاصل در دیوار حائل ناشی از تحلیل به کمک رکوردهای مختلف در شکل (۱۲) و تنش‌های انحرافی ماکریم در شکل (۱۳) ارائه شد. بر اساس، مقایسه عملکرد دینامیکی دیوار حائل به ارتفاع ۵ متر، تحت رکورد زلزله اصلی نسبت به رکوردهای فیلتر شده حاصل از تئوری موجک، نتایج ذیل قابل استنباط هستند.

شکل ۱۰. جابه‌جایی افقی دیوار حائل وزنی بتنی به ارتفاع ۵ متر تحت اثر رکورد اصلی زلزله

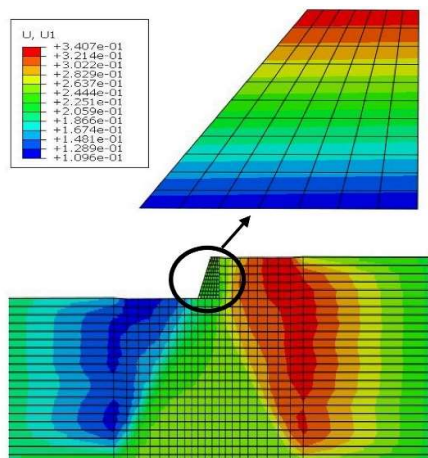


Fig. 10. The horizontal displacement of the 5-meter-high retaining wall under the main earthquake record

اختلاف جابه‌جایی افقی، شتاب افقی و تنش دیوار حائل تحت اثر رکورد زلزله اصلی با رکورد زلزله فیلتر شده در مرحله (گام) ۱ از تئوری موجک، به ترتیب ۷/۸، ۳/۰۲ و ۲/۷۱ درصد می‌باشد. اختلاف جابه‌جایی افقی، شتاب افقی و تنش

زلزله موجود (رکورد اصلی و رکوردهای حاصل از فیلتر موجک) تعداد مدل‌های عددی که تحت تحلیل دینامیکی قرار گرفته شامل ۷۵ مدل دینامیکی می‌شود. شایان ذکر است که تعداد مدل‌سازی به گونه‌ای اختیار شده است که اثر ابعاد دیوار حائل و رکوردهای زلزله قابل بررسی باشد. ابعاد محیط مدل‌سازی ۱۰۰ متر طول که از هر طرف ۲۵ متر به عنوان مرز بی‌نهایت در نظر گرفته شده است. ارتفاع توده خاک ۲۵ و ۲۷ و ۲۹ متر که بر اساس ارتفاع دیوار حائل مورد نظر (یعنی برای دیوارهای حائل ۵، ۷ و ۹ متر) در نظر گرفته شده است. مدل‌سازی سازه موردنظر برای تحلیل دینامیکی تاریخچه زمانی شتاب، در نرم‌افزار المان محدود ABAQUS2017 انجام شده است.

۵- نتایج حاصل از تحلیل مدل‌های عددی

رفتار لرزه‌ای دیوارهای حائل موردنظر (تنش، جابه‌جایی افقی و شتاب افقی) در نرم‌افزار آباکوس به روش تحلیل غیرخطی دینامیکی تاریخچه زمانی شتاب تحت اثر رکورد اصلی زلزله به همراه رکوردهای فیلتر شده موردنبررسی قرار گرفته‌اند. این ارزیابی‌ها مربوط به دیوارهای حائل به ارتفاع ۵، ۷ و ۹ متر می‌باشد که در ادامه ارائه شده اند. لازم به ذکر است که در ارزیابی نتایج تحلیل‌های عددی، برخی از کنتورهای جابه‌جایی ماندگار (نهایی) به تصویر کشیده شده‌اند و مقادیر حداقل آنها (جابه‌جایی حداقل ماندگار) نیز در نمودارهای میله‌ای برای مقایسه بکار رفته‌اند.

۱- ارزیابی رفتار لرزه‌ای دیوار حائل وزنی به ارتفاع ۵ متر روابط با استفاده از نرم‌افزار Equation MS Word نسخه ۲۰۱۳ یا ۲۰۱۶ تهیه و به ترتیب شماره‌گذاری شوند. شماره رابطه در داخل پرانتز و مماس بر حاشیه راست و خود رابطه مماس بر حاشیه چپ باشد. اندازه فونت روابط ۹ pt باشد. برای حفظ ویژگی Display در ظاهر رابطه، باید رابطه مورد نظر مانند نمونه زیر در داخل یک جدول فاقد مرز (با استفاده از گزینه No Border) تایپ شود. قبل و بعد از هر رابطه، ۶ pt فاصله لازم است.

شکل ۱۳. مقایسه تنش انحرافی حداکثر تحت رکوردهای مختلف فیلتر
شده - دیوار حائل وزنی بتنی به ارتفاع ۵ متر

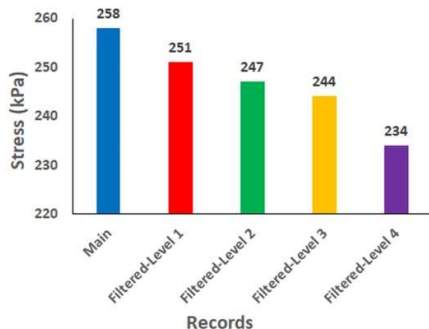


Fig. 13. Comparison diagram of the maximum deviatoric stress under different records: 5-meter-high retaining wall

-۵- ارزیابی رفتار لرزه‌ای دیوار حائل وزنی به ارتفاع ۷ متر
پس از پایان تحلیل دینامیکی دیوار حائل وزنی ۷ متری بر اساس رکورد زلزله اصلی، تغییر مکان‌های دائمی ایجاد شده در شکل (۱۴) به تصویر کشیده شده است. با تکرار تحلیل‌ها روی این محیط و دیوار به کمک رکوردهای زلزله فیلتر شده با موجک، نتایج حاصل برای مقایسه جابه‌جایی افقی ماندگار در تراز تاج دیوار در شکل (۱۵) ارائه شده است. همچنین در شکل (۱۶) و شکل (۱۷) به ترتیب شتاب‌های افقی ماکریم و تنش‌های انحرافی برای مقایسه عملکرد رکوردهای فیلتر شده مختلف روی دیوار حائل ۷ متری، ارائه شده است.

با مقایسه نتایج حاصل از تحلیل زلزله اصلی در مقابل رکوردهای فیلتر شده با موجک، نتایج ذیل حاصل در مورد دیوار حائل به ارتفاع ۷ متر، به دست می‌آید. اختلاف جابه‌جایی افقی، شتاب افقی و تنش دیوار حائل وزنی تحت اثر رکورد زلزله اصلی با رکورد زلزله فیلتر شده مرحله (گام) ۲ به ترتیب ۱، ۶/۹۸ و ۲/۲ درصد می‌باشد. اختلاف جابه‌جایی افقی، شتاب افقی و تنش دیوار حائل وزنی تحت اثر رکورد زلزله اصلی با رکورد زلزله فیلتر شده مرحله (گام) ۲ به ترتیب ۱۱/۷، ۲/۹۵ و ۴/۷ درصد شده است. اختلاف جابه‌جایی افقی، شتاب افقی و تنش دیوار حائل وزنی تحت اثر رکورد زلزله اصلی با رکورد زلزله فیلتر شده مرحله (گام) ۳ به ترتیب ۷/۱۲ و ۶/۶۸ درصد شده است و درنهایت اختلاف جابه‌جایی افقی، شتاب افقی و تنش دیوار حائل وزنی تحت اثر رکورد

دیوار حائل وزنی تحت اثر رکورد زلزله اصلی با رکورد زلزله فیلتر شده مرحله (گام) ۲ به ترتیب ۱۳/۸، ۷/۹۴ و ۴/۴ درصد شده است. اختلاف جابه‌جایی افقی، شتاب افقی و تنش دیوار حائل وزنی تحت اثر رکورد زلزله فیلتر شده مرحله (گام) ۳ به ترتیب ۱۷/۸، ۱۴/۱۹ و ۵/۴ درصد شده است و درنهایت اختلاف جابه‌جایی افقی، شتاب و تنش دیوار حائل وزنی تحت اثر رکورد زلزله اصلی با رکورد زلزله فیلتر شده مرحله (گام) ۴ به ترتیب ۲۰/۵۴ و ۲۵/۹۸ و ۹/۳ درصد می‌باشد.

شکل ۱۱. نمودار مقایسه جابه‌جایی افقی دیوار حائل به ارتفاع ۵ متر تحت اثر رکوردهای مختلف

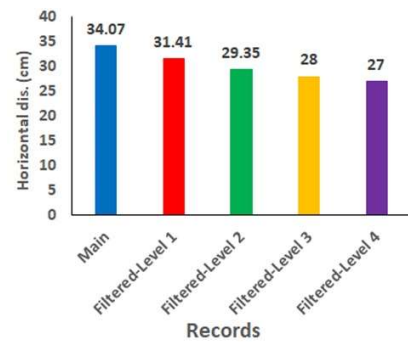


Fig. 11. Comparison diagram of the horizontal displacement of the 5-meter-high retaining wall under different records

شکل ۱۲. مقایسه شتاب افقی حداکثر تحت رکوردهای مختلف فیلتر شده - دیوار حائل وزنی بتنی به ارتفاع ۵ متر

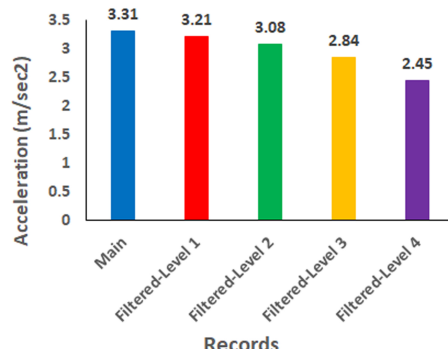


Fig. 12. Comparison diagram of the maximum horizontal acceleration under different records: 5-meter-high retaining wall

شکل ۱۶. مقایسه شتاب افقی حداکثر تحت رکوردهای مختلف فیلتر شده
- دیوار حائل وزنی بتنی به ارتفاع ۷ متر

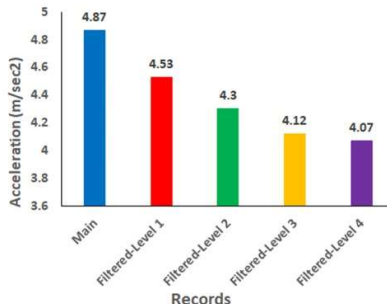


Fig. 16. Comparison diagram of the Max horizontal acc. under different records: 7-meter-high retaining wall

شکل ۱۷. مقایسه تنش انحرافی حداکثر تحت رکوردهای مختلف فیلتر
شده - دیوار حائل وزنی بتنی به ارتفاع ۷ متر

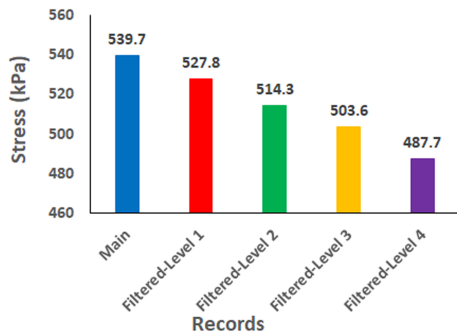


Fig. 17. Comparison diagram of the maximum deviatoric stress under different records: 7-meter-high retaining wall

همچنین، در شکل (۲۰) کنتور شتاب ماکزیمم در بدنه دیوار حائل تحت بارگذاری زلزله اصلی و مقایسه شتاب‌های ماکزیمم در بدنه تحت بارگذاری رکوردهای فیلتر شده مختلف ارائه شده است. کنتور تنش انحرافی در دیوار حائل و مقایسه مقادیر حداکثر ناشی از تحلیل به کمک رکوردهای مختلف بارگذاری نیز در شکل (۲۱) به نمایش گذاشته شده است.

بر اساس مقایسه صورت گرفته، ملاحظه می‌شود که اختلاف جابه‌جایی افقی، شتاب افقی و تنش دیوار حائل وزنی به ارتفاع ۹ متر تحت اثر رکورد زلزله اصلی با رکورد زلزله فیلتر شده مرحله (گام) ۱ به ترتیب $1/51$ ، $1/45$ و $1/17$ درصد می‌باشد. اختلاف جابه‌جایی افقی، شتاب افقی و تنش دیوار حائل وزنی تحت اثر رکورد زلزله اصلی با رکورد زلزله فیلتر شده مرحله (گام) ۲ به ترتیب $2/65$ ، $7/83$ و $6/16$ درصد شده است. اختلاف جابه‌جایی افقی، شتاب افقی و تنش دیوار حائل وزنی تحت اثر رکورد زلزله

زلزله اصلی با رکورد زلزله فیلتر شده مرحله (گام) ۴ به ترتیب $9/63$ و $16/24$ درصد می‌باشد.

شکل ۱۴. جابه‌جایی افقی دیوار حائل وزنی بتنی به ارتفاع ۷ متر تحت اثر رکورد اصلی زلزله

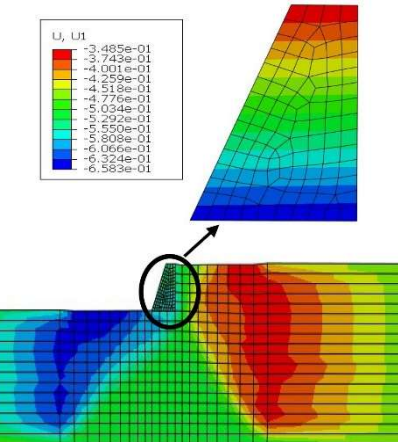


Fig. 14. The horizontal displacement of the 7-meter-high retaining wall under the main earthquake record

شکل ۱۵. نمودار مقایسه جابه‌جایی افقی دیوار حائل به ارتفاع ۷ متر تحت اثر رکوردهای مختلف

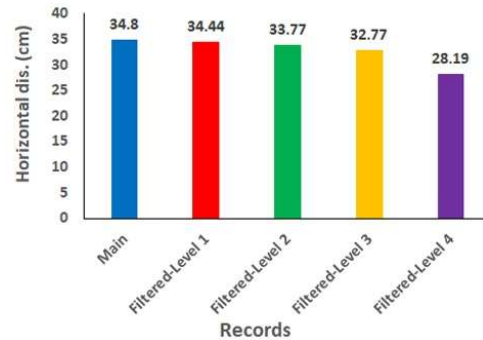
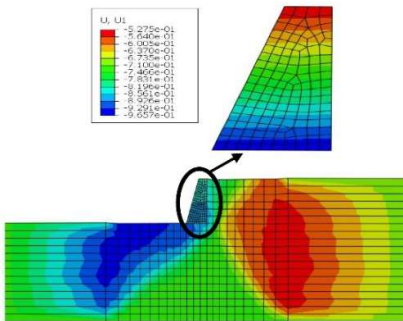


Fig. 15. Comparison diagram of the horizontal displacement of the 7-meter-high retaining wall under different records

۳-۵- ارزیابی رفتار لرزه‌ای دیوار حائل وزنی به ارتفاع ۹ متر برای ارزیابی عملکرد دیوار حائل وزنی به ارتفاع ۹ متر در بارگذاری زلزله اصلی در مقایسه با بارگذاری رکوردهای فیلتر شده با موجک، ابتدا کنتور تغییرشکل‌های افقی ماندگار در کل محیط در شکل (۱۸) ارائه شد و سپس تغییرشکل‌های ماکزیمم افقی ماندگار حاصل از تحلیل با رکوردهای فیلتر شده در شکل (۱۹) ارائه شد.

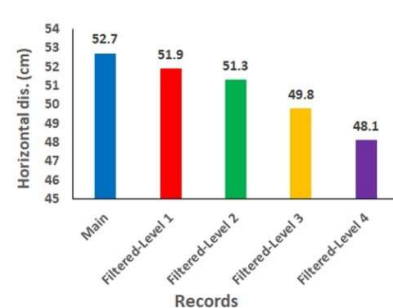
اصلی با رکورد زلزله فیلتر شده مرحله (گام) ۳ به ترتیب ۵/۵، ۱۱/۴۷ و ۸/۸۸ درصد شده است و درنهایت اختلاف جابه‌جایی افقی، شتاب افقی و تنفس دیوار حائل وزنی تحت اثر رکورد زلزله اصلی با رکورد زلزله فیلتر شده مرحله (گام) ۴ به ترتیب ۸/۷۲ و ۱۱ درصد می‌باشد.

شکل ۱۸. جابه‌جایی افقی دیوار حائل وزنی بتُنی به ارتفاع ۹ متر تحت اثر رکورد اصلی زلزله



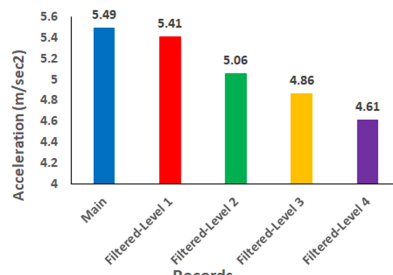
شکل ۱۸. نمودار مقایسه جابه‌جایی افقی دیوار حائل به ارتفاع ۹ متر تحت اثر رکوردهای مختلف

شکل ۱۹. نمودار مقایسه جابه‌جایی افقی دیوار حائل به ارتفاع ۹ متر تحت اثر رکوردهای مختلف



شکل ۱۹. Comparison diagram of the horizontal displacement of the 9-meter-high retaining wall under different records

شکل ۲۰. مقایسه شتاب افقی حداقل تحت رکوردهای مختلف فیلتر شده - دیوار حائل وزنی بتُنی به ارتفاع ۹ متر



شکل ۲۰. Comparison diagram of the maximum horizontal acceleration under different records: 9-meter-high retaining wall

از یک طرف، با توجه به اینکه زمان تحلیل دینامیکی با افزایش گام (مرحله) فیلتر کردن توسط موجک به شدت کاهش می‌یابد، از طرف دیگر، با مقایسه درصد اختلاف نتایج حاصل از تئوری موجک نسبت رکورد اصلی زلزله، ملاحظه می‌شود که در تحلیل دینامیکی دیوار حائل، حتی می‌توان از مراحل بالای فیلتر کردن (مرحله^۳) نیز نتایج قابل قبول و نزدیک به تحلیل با رکورد اصلی زلزله را کسب نمود.

جدول ۸. شتاب افقی دیوار حائل و درصد اختلاف رکوردهای فیلتر شده

در مقایسه با زلزله اصلی

| Filtered- Level 4 | Filtered- Level 3 | Filtered- Level 2 | Filtered- Level 1 | Main record | Wall height | Horizontal Acc. (m2/s) |
|-------------------|-------------------|-------------------|-------------------|-------------|-------------|--------------------------|
| 2.45 | 2.84 | 3.08 | 3.21 | 3.1 | 5 m | |
| 4.07 | 4.12 | 4.3 | 4.53 | 4.87 | 7 m | |
| 4.61 | 4.86 | 5.06 | 5.41 | 5.49 | 9 m | |
| 25.98 | 14.19 | 6.94 | 3.02 | - | 5 m | Deviation percentage (%) |
| 16.24 | 15.40 | 11.7 | 6.98 | - | 7 m | |
| 16 | 11.47 | 7.83 | 1.45 | - | 9 m | |

Table 8. Horizontal acceleration of the retaining wall and its difference percentage in the filtered records compared with the main earthquake

جدول ۹. تنش انحرافی در دیوار حائل و درصد اختلاف آن در

رکوردهای فیلتر شده در مقایسه با زلزله اصلی

| Filtered- Level 4 | Filtered- Level 3 | Filtered- Level 2 | Filtered- Level 1 | Main record | Wall height | Deviatoric stress (kPa) |
|-------------------|-------------------|-------------------|-------------------|-------------|-------------|-------------------------|
| 234 | 244 | 247 | 251 | 258 | 5 m | |
| 487.7 | 503.6 | 514.3 | 527.8 | 539.7 | 7 m | |
| 527.1 | 539.6 | 555.7 | 573.4 | 592.22 | 9 m | |
| 9.3 | 5.4 | 4.26 | 2.71 | - | 5 m | Deviation percentage |
| 9.63 | 6.68 | 4.7 | 2.2 | - | 7 m | |
| 11 | 8.88 | 6.16 | 3.17 | - | 9 m | |

Table 9. Deviatoric stress in the retaining wall and its difference percentage in the filtered records compared with the main earthquake

۶- نتیجه‌گیری

در این پژوهش، تلاش شده است تا امکان بکارگیری از تئوری موجک در تحلیل دینامیکی دیوار حائل مورد بررسی

رکورد فیلتر شده را نشان می‌دهد، ملاحظه می‌شود که کماکان نتایج حاصل از گام اول در حد قبل قبولی به نتایج حاصل از تحلیل با رکورد اصلی زلزله نزدیک است. اختلاف نتیجه‌های ثبت شده در دیوارهای حائل^۵، ۷ و ۹ متری تحت اثر رکورد اصلی زلزله با رکورد فیلتر شده با موجک در جدول (۴) ارائه شده است. با توجه به این نتایج، ملاحظه می‌شود که درصد خطای رخ داده در تحلیل رکوردهای فیلتر شده توسط موجک در مقایسه با رکوردهای زلزله اصلی چندان زیاد نیست.

جدول ۶. مدت زمان تحلیل دیوار حائل و درصد اختلاف آن در رکوردهای فیلتر شده در مقایسه با زلزله اصلی - کامپیوتر مورد استفاده: dell N5110 Intel(R) Core(TM) i7-2670QM CPU @ 2.20GHz 2.20 GHz

| Filtered- Level 4 | Filtered- Level 3 | Filtered- Level 2 | Filtered- Level 1 | Main record | Wall height | Analysis duration |
|-------------------|-------------------|-------------------|-------------------|-------------|-------------|----------------------|
| 25 | 65 | 126 | 255 | 350 | 5 m | |
| 25 | 46 | 91 | 157 | 250 | 7 m | |
| 24 | 47 | 91 | 152 | 255 | 9 m | |
| 92 | 81 | 63 | 36 | - | 5 m | Deviation percentage |
| 90 | 82 | 64 | 37 | - | 7 m | |
| 90 | 82 | 65 | 40 | - | 9 m | |

Table 6. Analysis duration of the retaining wall and its difference percentage in the filtered records compared with the main earthquake by computer:

| Filtered- Level 4 | Filtered- Level 3 | Filtered- Level 2 | Filtered- Level 1 | Main record | Wall height | Horizontal Displacement (mm) |
|-------------------|-------------------|-------------------|-------------------|-------------|-------------|------------------------------|
| 27 | 28 | 29.35 | 31.41 | 34.07 | 5 m | |
| 28.19 | 32.77 | 33.77 | 34.44 | 34.8 | 7 m | |
| 48.1 | 49.8 | 51.3 | 51.9 | 52.7 | 9 m | |
| 50.54 | 17.8 | 13.8 | 7.8 | - | 5 m | Deviation percentage |
| 18.99 | 6.12 | 2.95 | 1 | - | 7 m | |
| 8.72 | 5.5 | 2.95 | 1.51 | - | 9 m | |

Table 7. Horizontal displacement of the retaining wall and its difference percentage in the filtered records compared with the main earthquake

قویل از تئوری موجک برای فیلتر کردن زلزله، استفاده نمود. این کار باعث کاهش کاهش قابل توجه در زمان محاسبات (تا حدود ۸۰ درصد کاهش زمان محاسبات) می‌شود؛ ضمن اینکه اختلاف نتایج نسبت به حالتی که تحلیل‌ها با رکورد اصلی زلزله انجام می‌شود، خیلی چشمگیر نیست. این نتیجه زمانی که ارتفاع دیوار بلندتر است، به مراتب قویتر می‌شود. در انتها باید اشاره داشت که در تحلیل‌های انجام شده در این تحقیق، از مدل رفتاری موهر- کولمب استفاده شده است. این مدل رفتاری به طور ذاتی توانایی مدل کردن رفتار میرایی هیسترزیس در کرنش‌های پایین را ندارد. بنابراین، باید توجه داشت که این نکته می‌تواند روی نتایج تغییرشکل‌ها و تنش‌های بدست آمده از تحلیل‌های دینامیکی تاثیر داشته باشد. در هر صورت، از آنجا که هدف از این پژوهش ارزیابی عملکرد موجک در تحلیل دینامیکی دیوار حائل می‌باشد؛ و در کلیه تحلیل‌ها (چه تحلیل انجام شده با زلزله اصلی و چه تحلیل‌های انجام شده با رکوردهای فیلتر شده با موجک) از تحلیل‌های ساختار و روند استفاده شده است، می‌توان چنین برداشت نمود که اثر استفاده از موجک در مقایسه با زلزله اصلی می‌تواند دید کلی و کیفی قابل قبولی بدهد. بنابراین، هر چند با توجه به هندسه، لایه‌های مختلف خاک و استفاده از مدل‌های رفتاری متفاوت، ممکن است باعث تغییر در مقادیر عددی تغییرشکل‌ها و تنش‌ها شود، اما تاثیر نسبی استفاده از تئوری موجک را می‌توان کماکان صادق دانست.

اعلام تعارض منافع

نویسنده‌گان اعلام می‌کنند که هیچ نوع تعارض منافعی وجود ندارد.

مراجع

1. Fakher, A., Principles of Advanced Foundation Engineering. 2010, Tehran: University of Tehran.
2. Abdul-Hussain, N., M. Fall, and M. Saatcioglu, Blast response of cantilever retaining wall: Modes of wall movement. *Transportation Geotechnics*, 2023. 40: p. 100950.
3. Singh, P., et al., Numerical investigation and estimation of active earth thrust on gravity retaining walls under seismic excitation. *Soil Dynamics and Earthquake Engineering*, 2023. 167: p. 107798.
4. Kamalzadeh, A. and M.J. Pender, Dynamic response of Mechanically Stabilised Earth (MSE) structures: A

قرار گیرد. استفاده از تئوری موجک می‌تواند زمان تحلیل و به نتیجه رسیدن را کاهش دهد. تحلیل‌های عددی مورد نظر بر اساس روش المان محدود و با استفاده از نرم افزار ABAQUS انجام پذیرفت. تحلیل المان محدود دیوار و خاک محیط اطراف به طور همزمان در نرم افزار طرح ریزی و مورد تحلیل قرار گرفت تا اثر متقابل خاک و دیوار بر هم نیز در نتایج وارد شده باشد. هندسه‌های مختلف از محیط و دیوارها با ارتفاع‌های مختلف در نظر گرفته شد. برای تحلیل دینامیکی از رکورد شتاب زلزله سر پل ذهاب استفاده شد. این رکورد در چهار مرحله (گام) به کمک تئوری موجک فیلتر شد و رکوردهای جدید (فیلتر شده توسط تئوری موجک) حاصل شد. تحلیل دینامیکی غیرخطی از مدل‌های عددی به کمک رکورد اصلی و رکوردهای فیلتر شده توسط موجک انجام شد و نتایج وارد بر دیوار حائل ثبت و مورد بررسی قرار گرفت.

با مقایسه نتایج تحلیل انجام شده توسط رکورد اصلی زلزله و نتایج تحلیل انجام شده توسط رکوردهای فیلتر شده با تئوری موجک، ملاحظه می‌شود، در دید کلی، استفاده از تئوری موجک در فیلتر کردن رکورد باعث شده است ضمن کاهش قابل توجه در زمان محاسبات، دقت قابل قبولی نیز حاصل شود. به عبارت دیگر، فیلتر کردن زلزله توسط تئوری موجک باعث شده است، زمان محاسبات به طور چشمگیری کاهش پیدا کند. همان‌گونه که انتظار می‌رفت، بیشترین سازگاری نتایج تحلیل با رکوردهای فیلتر شده با نتایج حاصل از رکورد اصلی زلزله، مربوط به فیلتر مرحله (گام) اول است. با افزایش گام‌های فیلتر، ضمن کاهش زمان تحلیل، درصد اختلاف نتایج تحلیل نسبت به رکورد اصلی، بیشتر می‌شود.

با افزایش ارتفاع دیوار، نتایج تحلیل مربوط به مراحل بالاتر فیلتر کردن به نتایج تحلیل با رکورد اصلی زلزله نزدیکتر می‌شود. به عبارت دیگر، درصد اختلاف نتایج پس از فیلتر کردن زلزله نسبت به رکورد اصلی زلزله، با افزایش ارتفاع دیوار کاهش می‌یابد (تحلیل‌ها با دقت بیشتری انجام می‌شود).

رویهم رفته، می‌توان چنین برداشت کرد که در تحلیل دینامیکی دیوار حائل با رکوردهای فیلتر شده توسط تئوری موجک، می‌توان تا گام سوم فیلتر به راحتی و با دقت قابل

- Decomposed Earthquake Records. *Iranian Journal of Science and Technology, Transactions of Civil Engineering*, 2023. 47(4): p. 2365-2377.
19. Segaline, H., E. Sáez, and J. Ubilla, Evaluation of dynamic soil-structure interaction effects in buildings with underground stories using 1 g physical experimentation in a transparent shear laminar box. *Engineering Structures*, 2022. 266: p. 114645.
20. Lin, J., et al., Application of wavelet transforms to the simulation of corrosion fields on buried pipelines. *Computers & Structures*, 2023. 276: p. 106957.
21. Kamgar, R., M. Dadkhah, and H. Naderpour, Seismic response evaluation of structures using discrete wavelet transform through linear analysis. *Structures*, 2021. 29: p. 863-882.
22. Majidi, N., et al., Estimation of earthquake frequency content and its effect on dynamic analysis using continuous and discrete wavelet transform. *Scientia Iranica*, 2022. 29(6): p. 2773-2788.
23. Sarkar, K., V.K. Gupta, and R.C. George, Wavelet-based generation of spatially correlated accelerograms. *Soil Dynamics and Earthquake Engineering*, 2016. 87: p. 116-124.
- numerical study. *Geotextiles and Geomembranes*, 2023. 51(1): p. 73-87.
5. Hung, W.-Y., et al., Centrifuge modeling on the effect of mechanical connection on the dynamic performance of narrow geosynthetic reinforced soil wall. *Geotextiles and Geomembranes*, 2023.
6. Guan, X. and G.S.P. Madabhushi, Dynamic response of a retaining wall with a structure on the dry backfill. *Soil Dynamics and Earthquake Engineering*, 2022. 157: p. 107259.
7. Salajegheh, E. and A. Heidari, Time history dynamic analysis of structures using filter banks and wavelet transforms. *Computers & Structures*, 2005. 83(1): p. 53-68.
8. Salajegheh, E. and A. Heidari, Optimum design of structures against earthquake by wavelet neural network and filter banks. *Earthquake Engineering & Structural Dynamics*, 2005. 34(1): p. 67-82.
9. Salajegheh, E., A. Heidari, and S. Saryazdi, Optimum design of structures against earthquake by discrete wavelet transform. *International Journal for Numerical Methods in Engineering*, 2005. 62(15): p. 2178-2192.
10. Kamgar, R., et al., Application of discrete wavelet transform in seismic nonlinear analysis of soil-structure interaction problems. *Earthquake Spectra*, 2021. 37: p. 1980 - 2012.
11. Dadkhah, M., R. Kamgar, and H. Heidarzadeh, Reducing the Cost of Calculations for Incremental Dynamic Analysis of Building Structures Using the Discrete Wavelet Transform. *Journal of Earthquake Engineering*, 2022. 26(7): p. 3317-3342.
12. Kankanamge, Y., Y. Hu, and X. Shao, Application of wavelet transform in structural health monitoring. *Earthquake Engineering and Engineering Vibration*, 2020. 19(2): p. 515-532.
13. Khanahmadi, M., O. Rezayfar, and M. Ghohkai, Damage Detection in Steel Plates Based on Comparing Analytical Results of the Discrete 2-D Wavelet Transform of Primary and Secondary Modes Shape. *Journal of Structural and Construction Engineering*, 2021. 8(5): p. 198-214.
14. XU Qian, Y.C., GUO Hong, GUO Guangling, Stability alarming for a pile plate retaining wall with damage. *China Safety Science Journal*, 2020. 30(2): p. 47-53.
15. Aghamolaei, M., et al., Performance-based analysis of cantilever retaining walls subjected to near-fault ground shakings. *Computers and Geotechnics*, 2021. 130: p. 103924.
16. Memarian Sorkhabi, O., M. Khajehzadeh, and S. Keawsawasvong, Landslides monitoring with SBAS-InSAR and 3D wavelet phase filtering. *Physics and Chemistry of the Earth, Parts A/B/C*, 2023: p. 103486.
17. Ha, S.J., H. Seo, and B. Kim, Effects of pulse-like ground motions and wavelet asymmetry on responses of cantilever retaining wall. *Soil Dynamics and Earthquake Engineering*, 2023. 166: p. 107724.
18. Javdanian, H. and N. Goudarzi, Seismic Analysis of Geogrid-Reinforced Soil Retaining Walls Under

Using wavelet theory in the dynamic analyses of retaining walls coupled with soil medium

AhmadReza Seifoddin¹, Heisam Heidarzadeh^{2*}, HamedReza Zarif³

1- MSc. Student, Department of Civil Engineering, Faculty of Technology and Engineering, Shahrekord University, Shahrekord, Iran.

2*- Associate Professor, Department of Civil Engineering, Faculty of Technology and Engineering, Shahrekord University, Shahrekord, Iran. Email: Heidarzadeh@sku.ac.ir.

3- Associate Professor, Department of Civil Engineering, Faculty of Technology and Engineering, Shahrekord University, Shahrekord, Iran.

Abstract:

Retaining structure or retaining wall is a wall that acts as supporting structure and the stability of another structure. This wall is used for preventing collapse of soil and generally wherever lateral support is needed. The retaining wall can be designed as gravity, cantilever and supported. Considering that the retaining walls are essential in protecting the related structures to them, therefore, studying the dynamic behavior of these structures is very important due to the financial and human damages. Such structures should be stable against the forces acting on the wall. In addition to static loads, which are always an inseparable part of the calculations of such walls, forces such as cyclic forces caused by the movement of machinery and also dynamic forces caused by earthquake occur on the wall during the period of operation. These forces can be effected on retaining walls and should be investigated and evaluated. Trying to investigate and analyze the dynamic behavior of different retaining walls is one of the most challenging for different researchers.

The wavelet theory in the dynamic analysis of the issues related to civil engineering is going to be widespread. This research aims to investigate the effect of using wavelet theory in the dynamic analyses of concrete retaining walls. For this purpose, a soil medium along with concrete retaining walls with different dimensions (heights) are considered. Dynamic analyses are performed based on the finite element method. In the first stage of modeling, the Sarpol-e Zahab earthquake record is filtered during four steps using the discrete wavelet theory. The numerical models are prepared and subjected to the available records. The percentage of the difference in the results of the analyses done with the records obtained from the different steps of filtering record with wavelet compared to the analyses done with the main record, along with the reduction of the time consumption, is evaluated. As expected, the best match of the post-filtering results to the main earthquake results is for the first-step filter. It can be seen that even the first step filter reduces the analysis time by about 60%. Based on the obtained results, the difference between the results obtained with the filtered records becomes less compared to the main earthquake with the increase in the height of the wall. It has also been observed that acceptable results are still obtained, and the analysis time is reduced by almost 80% until the third step filter.

It should be noted that the Mohr-Coulomb behavioral model is used in the conducted analyzes in this research. This behavioral model is not inherently able to model hysteresis damping behavior at low strains. Therefore, this issue can affect the results of deformations and stresses obtained from dynamic analysis. However, the purpose of this research is to evaluate the performance of the wavelet in the dynamic analysis of the retaining wall. Considering that in all the analyses (both the performed analysis with the main earthquake and the performed analyzes with the wavelet filtered records) the same structure and trend are used, it can be concluded that the effect of using the wavelet compared to the main earthquake gives an acceptable overview and quality.

Keywords: Dynamic analysis, Retaining wall, Soil, Finite element, Wavelet theory.